

A mathematical model of immune competition related to cancer dynamics

By Ilaria Brazzoli, Elena De Angelis and Pierre-Emmanuel Jabin

Bartolomé Ortiz Viso

bortiz@correo.ugr.es

@bortizmath

EDP de transporte
Máster en Física y Matemáticas

17 Enero, 2018

Índice

Introducción

Descripción del modelo

Resultados teóricos

Simulaciones numéricas

Conclusiones y futuro trabajo



Introducción

El desarrollo de la **teoría cinética de partículas** activas ha supuesto un gran avance para el descubrimiento de nuevos modelos matemáticos en el ámbito de la biología.

La teoría cinética de partículas activas



Marco de desarrollo de **modelos de competición inmune**.



- Podemos pasar de descripciones locales a globales.
- Introducimos actividades o cualidades celulares.

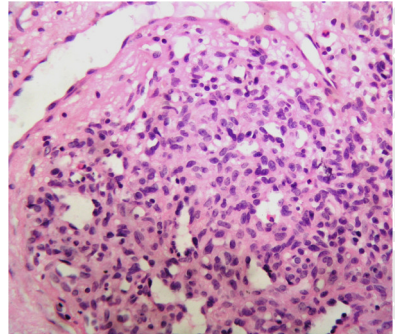


Figura: Tejido endotelial implicado en competiciones inmunes

Descripción del modelo

Inmunovigilancia

Periodo en el cual el sistema inmune debe reconocer células tumorales durmientes y frenar su avance o erradicarlas.

Poblaciones afectadas

- células endoteliales.
- células del sistema inmune.
- células tumorales.

Descripción del modelo

Función de distribución de una partícula generalizada

Para cada poblacion en $t \in [0, T]$ definimos:

$$f_i = f_i(t, u)$$

$$n_i(t) = n_i[f_i](t) = \int_0^{+\infty} f_i(t, u) du,$$

Densidad total o tamaño de población

$$A_i(t) = A_i[f_i](t) = \int_0^{+\infty} u f_i(t, u),$$

Actividad de cada población.

Descripción del modelo

- 1 La **proliferación** de las células endoteliales (A_1) se ve **afectada negativamente** por las células tumorales. A su vez, se ve **afectada positivamente** por la propia reproducción celular.
- 2 Las células inmunes tienden a (A_2) **estado centinela** asociado a una constante. Además la actividad tumoral **provoca** la actividad inmunológica.
- 3 Las células tumorales **proliferan** y las células inmunes **destruyen** las células tumorales.



Descripción del modelo

$$\frac{d}{dt}A_1 = -A_1(t)A_3(t) + \alpha(A_1)A_1(t), \quad (1)$$

$$\frac{d}{dt}A_2 = A_2^* - A_2(t) + A_3(t), \quad (2)$$

$$\partial_t f_3 + \partial_u f_3 = r(u)f_3(t, u) - A_2(t)f_3(t, u). \quad (3)$$



Resultados teóricos

Hipótesis

- (I) $\alpha \in L^\infty[0, +\infty)$, con $A_1^* > 0$
- (II) $r(u) \in L^\infty[0, +\infty)$ y $r(0) = 0$
- (III) $r(u) = R^* - (A/u) + O(1/u^2)$ cuando $u \rightarrow \infty$



Resultados teóricos

Theorem

Suponiendo:

$$f_3^0(u) \geq 0 \text{ y } \int_0^{+\infty} (1+u)f_3^0(u)du < \infty$$

Entonces existe al menos una solución (A_1, A_2, A_3) para el problema de valores iniciales (1) – (5) en el sentido de las distribuciones, tal que $(A_1, A_2) \in C([0, \infty))$ y $f_3 \in L^1((1+u)du)$.

Resultados teóricos

Theorem

Suponiendo que la condición inicial cumple la condición ??, entonces cuando $t \rightarrow \infty$ se tiene:

- ❶ $A_1(t) \rightarrow 0;$
- ❷ $n_3(t) \rightarrow 0;$
- ❸ $A_2(t) \rightarrow R^*$ y $A_3(t) \rightarrow R^* - A_2^*;$
- ❹ $\exists L(u) \in L^1(du, \mathbb{R})$ y $\exists \phi(t)$ de manera que f_3 con la adecuada normalización converge a $L(u)$

$$\int_{\infty}^{\infty} f_3(t, u+t) \frac{e^{A \log(u+t)}}{\phi(t)} - L(u) du \leq \frac{c}{t}$$

donde c es constante y A es la definida en la hipótesis.

Simulaciones numéricas $A_1 = 0,5, A_2 = 0,2, \beta = 1$

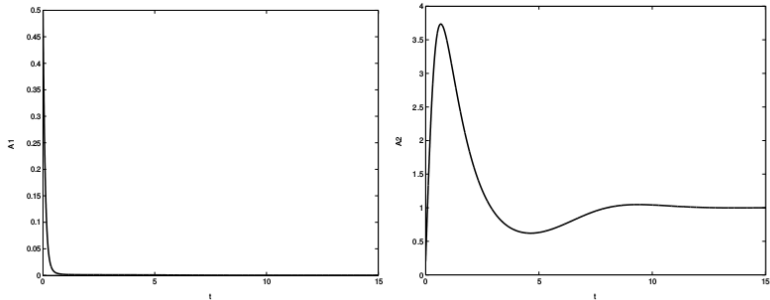
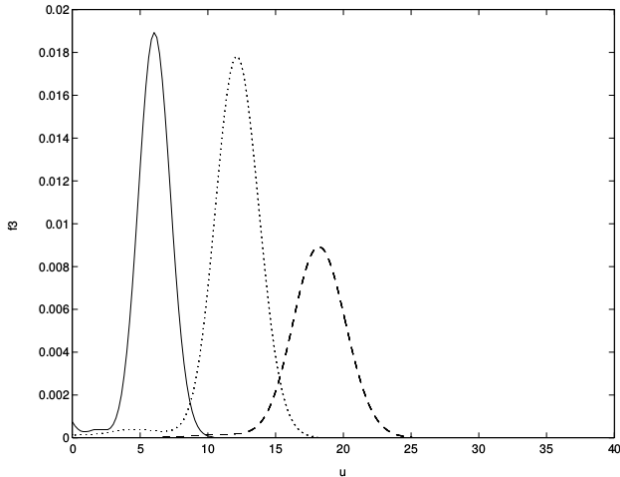


Figura: Comportamiento de A_1 y A_2

Simulaciones numéricas $A_1 = 0,5, A_2 = 0,2, \beta = 1$



Simulaciones numéricas $A_1 = 0,5, A_2 = 0,2, \beta = 1$

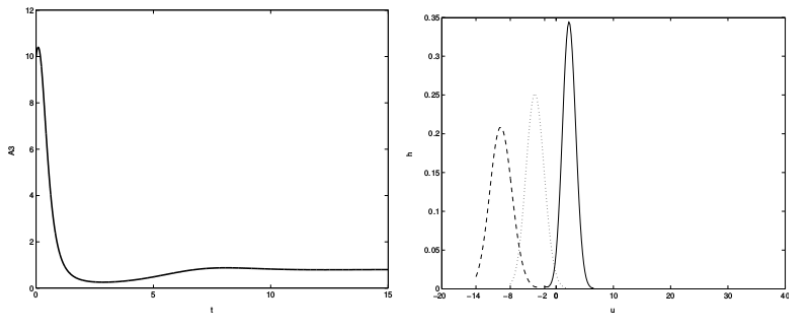
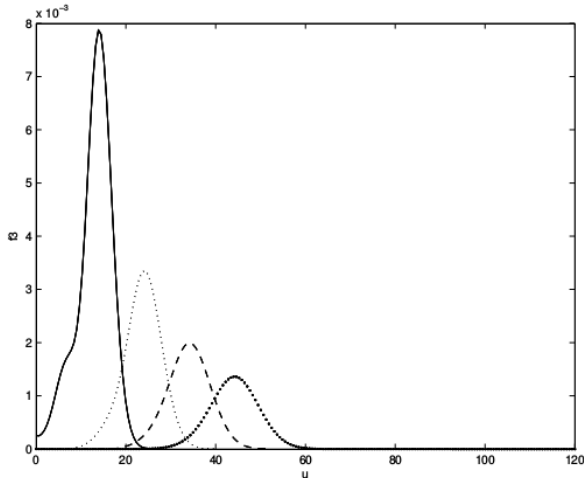


Figura: Comportamiento de A_3 y h

Simulaciones numéricas $A_1 = 0,5, A_2 = 0,2, \beta = 10$



Conclusiones y futuro trabajo

- Grandes oportunidades biológicas a desarrollar.
- Interesantes perspectivas en simulación.
- Limitaciones e imprecisiones a subsanar.